

Cours 8

Compléments sur les faisceaux pervers,
théorie de Springer

Références :

- de Cataldo - Miglionico, The decomposition theorem, perverse sheaves and the topology of algebraic maps, § 6.2, Bulletin of the AMS.
- Clausen, The Springer correspondence, Senior Thesis.

Soit Y schéma de type fini sur un corps de caractéristique $\neq p$.

Nous avons défini la catégorie dérivée de nouvelle sou-catégorie abélienne $\mathrm{Perf}(Y, \bar{\mathbb{Q}}_\ell)$ de $D^b_c(Y, \bar{\mathbb{Q}}_\ell)$.
L'avantage de $\mathrm{Perf}(Y, \bar{\mathbb{Q}}_\ell)$ sur $\mathrm{Coh}(Y, \bar{\mathbb{Q}}_\ell)$ ($=$ la catégorie abélienne des faisceaux constructibles) est qu'elle est stable par dualité de Verdier. L'énoncé suivant montre qu'elle a une structure remarquable.

Th: La catégorie $\mathrm{Perf}(Y, \bar{\mathbb{Q}}_\ell)$ est autoïdiomorphe et wellétale (\Leftrightarrow tout objet a une filtration fine par sous-objets avec gradués successifs des objets simples (\Leftrightarrow : exercice)). De plus, les objets simples sont en bijection avec les complexes (Z, \mathcal{L}) , où Z est un ferme irréductible de Y et \mathcal{L} représentation irréductible du groupe de Galois de $k(Z)$.

Ex, la catégorie $\text{Coh}(Y, \overline{\mathbb{Q}}_\ell)$ n'est pas artinienne : prendre $Y = \mathbb{A}^1$, $(y_n)_n$ une suite de points distincts de Y et $j_n: Y \setminus \{y_1, \dots, y_n\} \hookrightarrow Y$. les $j_n{}_! \overline{\mathbb{Q}}_\ell$ forment une suite décreasinge inférieure de sous-filtres instables de $\overline{\mathbb{Q}}_\ell$.

Dém : Voir Beilinson-Bernstein-Deligne, § 4.3.

Il nous fournit ici une idée de la paramétrisation des objets simples. Soit (Z, \mathcal{L}) comme dans l'annexe du théorème. \mathcal{L} peut être vu comme système local sur un ouvert dense U de Z , que l'on peut (grâce à rétrécir un peu U) supposer connexe. Posons :

$$IC(Z, \mathcal{L}) = i_* \left(\text{Im}({}^p H^0(j_! \mathcal{L}[\dim U])) \right) - {}^p H^0(j_* \mathcal{L}[\dim U])$$

où $j: U \hookrightarrow Z$

$i: Z \hookrightarrow Y$. ${}^p H^0 = \text{coh. generale en deg } 0$.
"complexe d'intersection"

Point remarquable : indépendant de U !

Rq: L'énoncé du théorème est assez renseignable si on coupe de manière à la situation pour les faisceaux constructibles: si $F \in \text{Coh}(Y, \bar{\mathbb{Q}}_\ell)$, $H^i \in Y$, F donne naissance à une représentation de Gal (\bar{L}/L) . Mais il n'est pas facile de dire comment cette collection de représentations galoisiennes s'organise en un faisceau constructible. Pour les faisceaux purs, on peut consigner quelque représentation du groupe de Galois du corps localisé en un point!

Stabilité des faisceaux purs par les six opérations

On a vu au cours dernier que pour $f: Y' \rightarrow Y$ de dim d, $f^*[\mathbf{d}]$ envoie $\text{Perf}(Y, \bar{\mathbb{Q}}_\ell)$ dans $\text{Perf}(Y', \bar{\mathbb{Q}}_\ell)$. Le théorème d'Artin-Grothendieck garantit aussi de voir que si f est fini (donc affine et propre), f_* envoie $\text{Perf}(Y, \bar{\mathbb{Q}}_\ell)$ dans $\text{Perf}(Y', \bar{\mathbb{Q}}_\ell)$. En particulier, si Y' est lisse de dim d, f fini, $f_* \bar{\mathbb{Q}}_\ell[\mathbf{d}]$ est pur.

plus généralement :

Def : $f: Y' \rightarrow Y$ avec Y' lisse dim d. Le morphisme f est dit semi-petit si f est propre, et s'il existe une stratification $\{Y_t\}$ de Y

E.g. $\forall y \in Y_t \cap f(Y')$, $2\dim f^{-1}(y) + \dim(Y_t) \leq \dim(Y')$ (*)

Ex : Si f est fini, f est semi-petit. Réciproquement, si f est semi-petit, il est généralement fini : considérer sa restriction à la strate ouverte de chaque composante irréductible de Y et se souvenir que $\forall y, \dim f^{-1}(y) \geq \dim(Y') - \dim(Y)$.

Contre-ex : îlots tenus, en général.

Prop : $f: Y' \rightarrow Y$, Y' lisse dim d, f semi-petit.

Alors $Rf_* \bar{\mathbb{Q}}_l[d]$ est pur.

Dém : Comme f est propre et $\bar{\mathbb{Q}}_l[d]$ auto-dual (par limite de Y'), il suffit de montrer que $Rf_* \bar{\mathbb{Q}}_l[d]$ est dans $'D_c^{b, \leq 0}(Y, \bar{\mathbb{Q}}_l)$. Soit $y \in Y$, t.e.g. $y \in Y_t$.

$$i_y^* Rf_* \bar{\mathbb{Q}}_l[d] = Rf_{i_y^* Y} i_y'^* \bar{\mathbb{Q}}_l[d] \quad \begin{cases} i_y: Y'_y \rightarrow Y \\ f_{i_y} = f|_{Y'_y} \end{cases}$$

Mais $i_{Y'}^* \bar{\mathbb{Q}}_l = \bar{\mathbb{Q}}_l$ et $Rf_{Y'}_* \bar{\mathbb{Q}}_l \in J_c^{[0, 2\dim Y']}(\bar{\mathbb{Q}}_l)$.

Comme $2\dim Y' < d - \dim(Y_t)$,

$$i_Y^* Rf_* \bar{\mathbb{Q}}_l[d] \in D^{\leq -\dim(Y_t)}(\bar{\mathbb{Q}}_l) \subseteq D^{\leq -d(Y)}(\bar{\mathbb{Q}}_l). \blacksquare$$

On voit donc que les morphismes semi-petits sont "fabriqués" pour que la proposition soit vraie.

Ex.: Plus généralement, on dit que f est stratifié semi-petit s'il existe une stratification $\{Y'_s\}$ de Y' t.q. $\forall s$, $f|_{Y'_s}$ est semi-petit. La proposition ci-dessous s'obtient alors en l'énonçant que pour f stratifié semi-petit, l'image directe dérivée par f de tout faisceau pur et $\{Y'_s\}$ -constructible est pur et

En fait, on peut dire bien mieux sur $Rf_* \bar{\mathbb{Q}}_l[d]$ si l'on ajoute aux hypothèses de la proposition la condition que f est injective.

C'est le théorème de décomposition, cas particulier du théorème général de Beilinson-Bernstein-Deligne.

Th : $f: \mathcal{Y}' \rightarrow \mathcal{Y}$, \mathcal{Y}' ligne de dimm d, f semi-pétit surjectif. Alors

$$Rf_* \bar{\mathbb{Q}}_l[d] = \bigoplus_{\text{statts } Y_t} IC(\bar{Y}_t, \bar{L}_t)$$

t.q. égalité des $(*)$ \uparrow
 système local semi-simple
 sur Y_t .

En particulier, si dans le statt onate vérifie $(*)$, $Rf_* \bar{\mathbb{Q}}_l[d]$ est un complexe d'intersection !

Pour l'instant, les seuls morphismes semi-pétits que nous avons rencontrés sont les morphismes finis. Dans la suite de ce cours, nous allons discuter d'un exemple non fini et intéressant issu de la théorie des groupes algébriques.

Cet exemple est une illustration frappante et prototypique de l'utilisation des faisceaux pervers en théorie des représentations (dans l'esprit de Lusztig) et un moyen de préparer la voie à une construction plus générale de la mon.

Théorie de Springer

Si Γ est un groupe fini, on sait que les classes d'iso de représentations irréductibles (complexes) de Γ et les classes de conjugaison dans Γ sont en bijection (par la théorie des caractères). Mais la bijection n'est pas explicite.

Pour certains groupes finis, on peut toutefois construire une bijection explicite et même de nature géométrique : c'est ce que fait la théorie de Springer. Nous allons l'expliquer dans le cas particulier du groupe symétrique $\Gamma = \mathfrak{S}_n$, $n \geq 1$. Dans ce qui suit, corps de base = \mathbb{C} .

Considérons $G = \mathrm{GL}_n$, vu comme groupe algébrique affine (i.e. un objet en groupes dans la catégorie des schémas affines : $\mathrm{GL}_n = \{(A, x) \in \mathbb{A}^{n^2+1}, \det(A)x=1\}$).

On note $N \subseteq M_n$, le cône nilpotent : sous-variété fermée formée des matrices nilpotentes.

Notons aussi $N \subseteq B$ nilpotent / brisé standard du G

et $\underline{n}, \underline{b}, g$ les algèbres de Lie de N, B, G .

On sait que tout élément de N peut être conjugué (par l'action par conjugaison de G) dans n et que les classes de conjugaison sont en bijection avec les partitions de n , i.e avec les classes de conjugaison (Jordan) dans S_n . On peut donc et va donc tenter d'amener à toute G -orbite dans N une représentation irréductible de S_n .

Ex : (qui n'est pas tant à faire un)

$G = SL_2$, base de \mathfrak{g} donnée par $(\begin{smallmatrix} 1 & 0 \\ 0 & -1 \end{smallmatrix}), (\begin{smallmatrix} 0 & 1 \\ 0 & 0 \end{smallmatrix}), (\begin{smallmatrix} 0 & 0 \\ 1 & 0 \end{smallmatrix})$

$$\text{Alors } z(\begin{smallmatrix} 1 & 0 \\ 0 & -1 \end{smallmatrix}) + x(\begin{smallmatrix} 0 & 1 \\ 0 & 0 \end{smallmatrix}) - y(\begin{smallmatrix} 0 & 0 \\ 1 & 0 \end{smallmatrix})$$

est dans $N \Leftrightarrow \det \Rightarrow 0 \Leftrightarrow z^2 = xy$. Donc

$$N = \{ (x, y, z) \in \mathbb{A}^3, z^2 = xy \}.$$

Comme le montre l'exemple précédent, N est en général très singulier. Notons

$$\tilde{N} = G \times^B n. \quad \begin{array}{l} (\text{ici } b \in B \text{ agit sur} \\ (g, n) \text{ par } (gb^{-1}, bnb^{-1}) \end{array}$$

("résolution de Springer")

C'est l'espace total du fibré \$G\$-équivariant sur
 $\mathcal{F}\ell := G/B$ correspondant à la \$B\$-représentation
 \$\mathbf{n}\$ (noter que $G \backslash \mathcal{F}\ell \simeq \cdot / B$).

On a aussi un morphisme \$G\$-équivariant.

$$p: \tilde{N} \rightarrow N, \quad (g, u) \mapsto gug^{-1}.$$

Prop \$\tilde{N}\$ est lisse irréductible de dim $2\dim(\mathfrak{n}) = n(n-1)$,
 et \$p\$ est semi-petit injectif pour la
 stratification de \$N\$ donnée par les classes de
 conjugaison, avec égalité dans **(*)** pour toute strate.

Dim: On se contentera d'une description alternative
 de \$\tilde{N} \rightarrow N\$: on a un morphisme $\tilde{N} \rightarrow \mathcal{F}\ell \times N$
 $(g, u) \mapsto (gB, guj')$

Après élargement de base le long
 de $G \rightarrow \mathcal{F}\ell$, on obtient $(id_{G/B})_*: G \times N \rightarrow G \times N$.

C'est donc une immersion fermée, et sa image est
 l'ensemble des couples (gB, u) t.q. $u \in gBj'$.

Autrement dit $\tilde{N} = \{(gB, u), u \in gBj'\} \rightarrow N$
 $(gB, u) \mapsto u$

En particulier π_1 est pure : immersion fermée de \tilde{N} dans $\text{Fl} \times N$ puis projection sur le deuxième facteur (Fl pure). Elle est aussi surjective et on voit que $\dim(\tilde{N}) = \dim(n) + \dim(\text{Fl}) = 2\dim(h)$ par la première description.

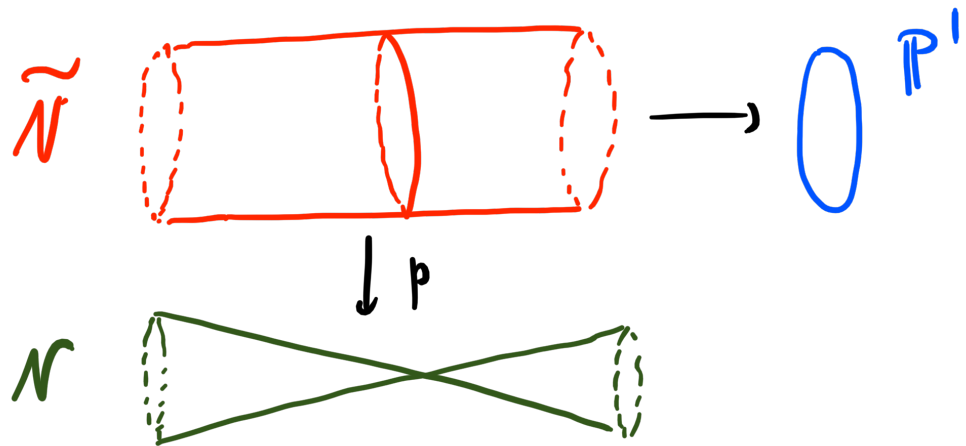
Finalement, il reste à démontrer : $\forall u \in N$,

$$2\dim(\text{ sous-groupes de } \text{BnL contenant } u) + \dim(\text{ classe de conjugaison de } u) = 2\dim(n).$$

Ex (suite) : $G = \text{SL}_2$, $\text{Fl} = \mathbb{P}^1$

$\tilde{N} \rightarrow \mathbb{P}^1$ espace total de $O(-2)$.

$\tilde{N} \rightarrow N$ contracte la section nulle de O .



De la proposition et du théorème de décomposition, on déduit :

Cor: Le fanion de Springer (un complexe...)

$$\mathcal{Y} := R_{P*} \overline{\mathbb{Q}}_l [n(n-1)]$$

Et un fanion purus G -équivariant, qui est somme directe de complexes d'intersections indexée par les classes de conjugaison nilpotentes.

$$\mathcal{Y} = \bigoplus_{\substack{C \text{ classe} \\ \text{de conj. nilpotente}}} IC(\bar{c}, \overline{\mathbb{Q}}_l) \otimes V_C^{m_{\bar{c}}} \quad (*)$$

multiplicité : $\overline{\mathbb{Q}}_l$ -er de
dim fine.

(Ici on a aussi utilisé que les systèmes locaux dont on prend l'intersection intermédiaire sont triviaux, ce qui permet de dire de la G -équivariance.)

On va montrer que \mathcal{Y} est muni d'une action du groupe symétrique S_n . Il n'y a malheureusement pas d'action évidente de S_n sur la filtration de Springer. Pour construire cette action, il faudra alors étendre la construction de cette filtration.

Def, On note $\tilde{g} = g \times {}^B$.

("réduction de Frobenius-Springer")

On a un morphisme

$$\bar{p}: \tilde{g} \rightarrow g, (g, b) \mapsto gb\bar{g}^{-1}.$$

Comme précédemment, on peut décrire la fibre de \bar{p} en $g \in g$ comme l'ensemble des sous-groupes de Borel contenant g (on écrit: l'ensemble des diagrammes complets stabilisés par g).

Nous admettons l'énoncé suivant:

Prop: le morphisme \bar{p} est propre, significatif et semi-schématique et sa stratification de g dont le strate ovale est

$$g^{rss} = \left\{ g \in g, g \text{ diagonalisable à valeurs}\right. \\ \left. \text{propres distinctes}\right\}$$

et dont tous les autres strates s'annulent:

$$\forall g \in S, 2\dim(\bar{p}^{-1}(g)) + \dim(S) < n^2.$$

De plus $\bar{p}|_{g^{rss}}: \bar{p}^{-1}(g^{rss}) \rightarrow g^{rss}$ est un

rentrant fini étale galocien de groupe S_n .

Cor : Le complexe $\bar{\mathcal{F}} := R\bar{P}_{*,*}\bar{\mathbb{Q}_\ell}[n^2] \in D_c^b(\mathfrak{g}, \bar{\mathbb{Q}_\ell})$ est pur et G -équivariant et vérifie :

$$\text{End}_{\text{Perf}(\mathfrak{g}, \bar{\mathbb{Q}_\ell})}(\bar{\mathcal{F}}) = \bar{\mathbb{Q}_\ell}[S_n].$$

Dém. : la proposition précédente et le théorème de décomposition montrent que $\bar{\mathcal{F}}$ est pur. Mieux, ils montrent que $\bar{\mathcal{F}}$ est l'extension intermédiaire de sa restriction à la strate ouverte \mathfrak{g}^{rss} . Par le théorème de l'ouvert de base propre, celle-ci est

$$R\bar{P}_{|\mathfrak{g}^{rss},*}\bar{\mathbb{Q}_\ell}[n^2] = \bar{P}_{|\mathfrak{g}^{rss},*}\bar{\mathbb{Q}_\ell}[n^2].$$

En particulier, les endomorphismes de $\bar{\mathcal{F}}$ sont les mêmes que ceux de $\bar{P}_{|\mathfrak{g}^{rss}}(\bar{\mathbb{Q}_\ell})[n^2] \in \text{Perf}(\mathfrak{g}^{rss})$.

Comme $\bar{P}_{|\mathfrak{g}^{rss}}$ est un revêtement étale galocien de groupe S_n , ces endomorphismes sont $\bar{\mathbb{Q}_\ell}[S_n]$.

De nouveau par le théorème de densité de Baer
topo, si i désigne l'inclusion $i: N \hookrightarrow g$,
on a: $\bar{g} = i^* \bar{g}[-n]$. On a donc en particulier
un morphisme

$$\bar{\text{Rep}}[S_n] = \text{End}_{\text{Perv}(g)}(\bar{g}) \rightarrow \text{End}_{\text{Perv}(N)}(g).$$

Th: Ce morphisme est un isomorphisme.

Comme la catégorie des faisceaux perses G -équivari-
ants sur N est semi-simple, on va décrire, comme

$$\bar{\text{Rep}}[S_n] = \bigoplus_{\substack{\sigma \text{ rep} \\ \text{irréducible} \\ \text{de } S_n}} \sigma \otimes V_\sigma, \text{ que :}$$

multiplicité

$$g = \bigoplus_{\substack{\sigma \text{ rep} \\ \text{irréducible} \\ \text{de } S_n}} (\text{objet simple} \text{ de } \text{Perv}_G(N)) \otimes \sigma \quad (**)$$

↑ deux à deux distincts

En comparant les formules $(*)$ et $(**)$, on sait que l'on a fabriqué une injection:

$$\begin{cases} \text{reps irréductibles} \\ \text{de } S_n \end{cases} \xrightarrow{\quad} \begin{cases} \text{classes de} \\ \text{injurgaison nilpotentes} \\ \text{de } g \end{cases}$$

$\sigma \longmapsto c_\sigma$

qui n'est en fait une bijection (par exemple car les deux ensembles ont même cardinalité).

De plus, on suit comment aller dans l'autre sens : soit c classe de conjugaison nilpotente : si l'on restrict \mathcal{Y} à c , on trouve tous les $\text{IC}(\bar{c}, \bar{\alpha})$ avec $\bar{c}' \neq c$. Puis si l'on prend la cohomologie en degré $- \dim(c)$, on trouve tous les $c' \neq c$. Si σ est telle que $c_\sigma = c$, on a donc $\forall x \in c$:

$$H^{-\dim(c)}(\mathcal{Y}_x) = \sigma,$$

i.e. la représentation de S_n associée à c est

$$H^{2\dim(B_x)}(B_x, \bar{\alpha}),$$

où B_x est la variété des fibres contenant x .

Exo.: faire explicitement dans le cas (pas très grominant) de S_3 présenté ci-dessus.

Rq : L'argument ci-dessus utilise la cohomologie

des fils de Springer en degré maximal. En fait,
on pourrait montrer que :

$$H^*(\mathcal{Z}_x, \overline{\mathbb{Q}}\ell) \simeq \text{Ind}_{S_\lambda}^{S_n}(1) \otimes \text{signe},$$

si $x \in$ classe de conjugaison déterminée par la partition
 $\lambda = (\lambda_1, \dots, \lambda_n)$ et si $S_\lambda = S_{\lambda_1} \times \dots \times S_{\lambda_n} \subseteq S_n$.